

УДК 532.516.5:533.6.011.55

© 2002 г.      Б.В. РОГОВ, И.А. СОКОЛОВА

## ГИПЕРБОЛИЧЕСКОЕ ПРИБЛИЖЕНИЕ УРАВНЕНИЙ НАВЬЕ–СТОКСА ДЛЯ ВЯЗКИХ СМЕШАННЫХ ТЕЧЕНИЙ

Для стационарных вязких смешанных (с переходом через скорость звука) внутренних и внешних течений получены упрощенные двумерные уравнения Навье–Стокса гиперболического типа в результате специального расщепления градиента давления вдоль доминирующего направления потока на гиперболическую и эллиптическую составляющие. Применение этих уравнений продемонстрировано на расчете течений в сопле Лавала и на задаче сверхзвукового обтекания затупленных тел. Полученное гиперболическое приближение хорошо описывает взаимодействие потока с обтекаемыми поверхностями для внутренних и внешних течений и применимо в широком диапазоне чисел Маха при умеренных и больших числах Рейнольдса. Приведены примеры расчетов вязких смешанных течений в сопле Лавала с большой продольной кривизной горла и в ударном слое около сферы и затупленного по сфере цилиндра большого удлинения. В новой постановке решена задача об определении коэффициента сопротивления холодной и горячей сферы в сверхзвуковом потоке воздуха в широком диапазоне числа Рейнольдса. Обнаружен эффект снижения сопротивления сферы при охлаждении ее поверхности в случае малых и умеренных чисел Рейнольдса.

Среди стационарных течений вязкого газа имеется достаточно широкий и представляющий интерес для технических приложений класс течений, в которых передача информации вверх по потоку либо незначительна, либо может быть учтена с помощью интегральных характеристик. К такому классу течений относятся смешанные течения, в которых звуковая поверхность перекрывает большую часть потока. Вследствие того что малые (акустические) возмущения не распространяются против сверхзвукового потока, в указанных течениях физические условия на правой границе, расположенной вниз по потоку от звуковой поверхности, слабо влияют на основную область потока из-за наличия тонких дозвуковых областей вязкого течения [1–5]. В случае внутренних течений такая ситуация реализуется, например, в соплах Лавала [1, 4]; в случае внешних течений – в ударном слое около обтекаемых сверхзвуковым потоком затупленных тел [2, 3, 5]. Использование для моделирования таких течений полных уравнений Навье–Стокса, содержащих члены порядка числа Кнудсена, нерационально, в особенности это относится к расчетам течений химически и термически неравновесных газовых смесей при умеренных и больших числах Рейнольдса  $Re$  [4–10], в которых большую часть времени занимает расчет диффузионно-кинетической части задачи.

Основой упрощения исходной стационарной системы двумерных уравнений Навье–Стокса является выбор одного или нескольких малых параметров и удобной системы координат. В качестве основного малого параметра для системы уравнений Навье–Стокса, записанных в безразмерном виде, принимается погранслоный параметр  $1/Re^{1/2}$ . Именно этот параметр используется при получении уравнений пограничного слоя и при упрощении уравнений для течений с малыми и умеренно большими числами Рейнольдса [4–10]. Преимуществом упрощенных уравнений является отсутствие вторых производных от неизвестных функций вдоль продольной координаты, отсчи-

тываемой в преимущественном направлении движения жидкости или газа. Вследствие этого открывается возможность нахождения решений стационарных задач маршевыми методами, что на порядки снижает трудоемкость расчетов по сравнению с интегрированием полных уравнений Навье–Стокса методами установления. Точность описания вязких течений с помощью упрощенных уравнений наиболее высока, если продольные координатные линии близки к линиям тока [11]. Однако упрощенные уравнения, не учитывающие молекулярные процессы переноса в продольном направлении, остаются эллиптическими в дозвуковых областях потока, так как содержат все члены уравнений Эйлера. Поэтому их невозможно интегрировать маршевыми методами в дозвуковых областях потока, поскольку для эллиптической системы уравнений задача Коши является некорректной [12–14].

Наиболее эффективные для численного решения газодинамические модели, описывающие стационарные вязкие течения, основаны на параболических или гиперболических, т.е. неэллиптических системах уравнений. Эти уравнения являются эволюционными по продольной координате, а задача Коши для них является корректной [12–14]. Поэтому их решение может быть найдено быстрыми маршевыми методами за один проход вниз по потоку [4, 5, 8, 12–14]. В дальнейшем эти модели будем называть неэллиптическими, хотя это не означает, что с их помощью нельзя учесть граничные условия для искомых функций на правой границе области течения. Например, параболическая система уравнений модели узкого канала [15] точно описывает стационарное существенно дозвуковое течение вязкой несжимаемой жидкости в цилиндрических трубах постоянного сечения (течение Гагена–Пуазейля). Заданное значение давления в выходном сечении трубы учитывается с помощью интегральной величины – значения массового расхода жидкости через трубу. Передача информации вверх по потоку в неэллиптических моделях учитывается неявно, в данном случае, интегрально.

Имеются два основных подхода к построению неэллиптических моделей. Первый подход *I* – это единое (для всех уравнений) разложение искомых функций по малым параметрам и различные принятые способы удержания (исключения) в уравнениях членов разного порядка малости относительно основного пограничного параметра и других малых параметров. Таким способом получено большинство упрощенных систем композитных уравнений, равномерно пригодных во всей области течения [4–10].

Кроме обычного подхода *I* имеется другой подход *II*, при котором упрощенные уравнения выводятся на основе расщепления некоторых искомых функций (или их производных) на составляющие по различным пространственным направлениям [12]. Например, в [16, 17] упрощенные уравнения для вязких течений в каналах получены на основе аддитивного расщепления статического давления  $p$  на продольную и поперечную составляющие, которое в двумерном случае имеет вид

$$p = p_{av}(\xi) + p_c(\xi, \eta)$$

где  $\xi$  и  $\eta$  – продольная и поперечные координаты,  $p_{av}$  – среднее по поперечному сечению канала давление,  $p_c$  – поправка, учитывающая поперечное изменение. В [18] используется аналогичное расщепление, но для "вязкой" части давления. В случае внутренних несжимаемых или дозвуковых течений с малыми (при подходящем выборе системы координат [17]) поперечными скоростями поперечное изменение давления мало и его градиентом в продольном направлении в соответствующем уравнении импульса можно пренебречь [16–18], т.е. положить, что

$$\frac{\partial p}{\partial \xi} \approx \frac{\partial p_{av}}{\partial \xi}$$

Для определения величины  $p_{av}$  используется условие постоянства массового расхода через канал в случае стационарных течений. Таким образом, во втором подходе

[16–18] принимается, что продольные и поперечные градиенты давления независимы, а упрощение некоторых уравнений проводится со своим представлением для искомой функции – давления.

Для внутренних смешанных течений в соплах Лаваля неэллиптические модели предложены в [15, 19–21]. Применимость модели узкого канала [15] ограничена малыми углами наклона стенок канала к его оси. Эта модель совсем не учитывает поперечный градиент давления. Основным недостатком модели [19] является пренебрежение в уравнении продольного импульса поперечной неоднородностью давления, вызванной центробежными силами. Это вносит существенную погрешность при расчете течения в транс- и сверхзвуковой частях сопла, в особенности в области его горла, где линии тока сильно искривлены. Применимость модели гладкого канала [20, 21] ограничена умеренными значениями продольной кривизны стенок канала. Упрощение уравнений Навье–Стокса в [15, 20, 21] проведено с помощью подхода *I*, а в [19] – подхода *II*.

В случае задачи сверхзвукового обтекания затупленных тел вязким газом при умеренных и больших числах Рейнольдса неэллиптические модели предложены в [22, 23]. Однако их работоспособность ограничена небольшой величиной азимутального угла, отсчитываемого от передней критической точки. Даже наиболее точная из этих моделей [23] дает значительную (больше 15%) погрешность в величине давления на поверхности обтекаемой сферы при значениях азимутального угла, больших 45°. В то же время, если число Маха набегающего потока достаточно велико, эти модели позволяют рассчитывать тепловые потоки на наветренной части затупленных тел с удовлетворительной точностью. Упрощение уравнений Навье–Стокса в [22] проведено с помощью подхода *I*, а в [23] – подхода *II*. В [23] продольный и поперечный градиенты давления рассматривались независимо, причем последний рассчитывался из уравнения, полученного дифференцированием уравнения для поперечного импульса в гиперзвуковом приближении.

В данной работе для вязких смешанных внутренних и внешних течений предлагается новая газодинамическая модель – гиперболическое приближение уравнений Навье–Стокса. Оно основано на системе уравнений гиперболического типа и применимо в широком диапазоне чисел Маха при умеренных и больших числах Рейнольдса. Модель построена с использованием специального расщепления продольного градиента давления на гиперболическую и эллиптическую составляющие. Возможности модели демонстрируются на решении тестовых и прикладных задач аэрогидродинамики.

**1. Расщепление продольного градиента давления.** Для построения адекватного неэллиптического приближения уравнений Навье–Стокса необходимо определить механизмы передачи информации вверх по потоку. Известно, что при умеренных и больших числах Рейнольдса основной механизм такой передачи в безотрывных течениях, ограниченных достаточно гладкими стенками, – акустический, связанный с продольным градиентом давления. Из характеристического анализа упрощенной системы уравнений в пределах невязкого и полностью вязкого течений выяснено, что за передачу информации вверх по потоку через дозвуковые области ответственна лишь "эллиптическая" часть продольного градиента давления [5, 12, 13]. Расщепление продольного градиента давления в соответствующем уравнении импульса на гиперболическую и эллиптическую составляющие впервые предложено в [24]

$$\frac{\partial p}{\partial \xi} = \omega \left( \frac{\partial p}{\partial \xi} \right)_h + (1 - \omega) \left( \frac{\partial p}{\partial \xi} \right)_e \quad (1.1)$$

$$\omega = \min \left\{ 1, \sigma \frac{\gamma M_\xi^2}{1 + (\gamma - 1) M_\xi^2} \right\}, \quad 0 < \sigma < 1 \quad (1.2)$$

где  $\sigma$  – числовой параметр, близкий к единице;  $M_\xi$  – число Маха, построенное по продольной составляющей скорости;  $\gamma$  – показатель адиабаты. Гиперболическая

составляющая (с индексом "h") градиента давления в (1.1) отвечает за распространение невязких (акустических) возмущений вниз по потоку, эллиптическая (с индексом "e") – вверх по потоку. Согласно данному расщеплению, гиперболическая часть градиента давления пренебрежимо мала в существенно дозвуковых областях течения с числом Маха  $M \ll 1$ . Вследствие этого расщепление (1.1) не использовалось для построения приближенных моделей, в то же время оно применялось для разработки эффективных численных методов расчета внешних [5, 24–26] и внутренних [26–29] течений.

С другой стороны, приближение для градиента давления в уравнении продольного импульса [19]

$$\frac{\partial p}{\partial \xi} \approx \frac{\partial p_a}{\partial \xi} \quad (1.3)$$

где  $p_a(\xi)$  – распределение давления вдоль оси канала, обеспечивает гиперболичность упрощенной системы уравнений [12]. При этом оказывается, что в существенно дозвуковых областях течения гиперболическая часть (1.3) продольного градиента давления вносит в него основной вклад, если продольные координатные линии ориентированы вдоль направлений линий тока [12].

В двух последующих пунктах, на примере вязких двумерных течений в симметричном канале и в ударном слое около обтекаемого сверхзвуковым потоком затупленного тела, будет показано, что продольный градиент давления может быть расщеплен следующим образом:

$$\frac{\partial p}{\partial \xi} = \omega \left( \frac{\partial p}{\partial \xi} \right)_h + (1 - \omega) \varphi \left( \frac{\partial p_m}{\partial \xi} \right)_h + (1 - \omega) p_m \left( \frac{\partial \varphi}{\partial \xi} \right)_e, \quad \varphi = \frac{p}{p_m} \quad (1.4)$$

где  $p_m = p(\xi, \eta_m)$  – распределение давления вдоль какой-либо выбранной продольной координатной линии  $\eta = \eta_m = \text{const}$ ; весовая функция  $\omega$  определяется формулой (1.2) и изменяется от нуля при  $M_\xi \ll 1$  до единицы при  $M_\xi \geq 1$  и  $\sigma \cong 1$ . В расщеплении (1.4) гиперболическая составляющая совпадает с правой частью (1.3) в частном случае внутренних течений с малым поперечным градиентом давления ( $\varphi \approx 1, p_m = p_a$ ). Из формулы (1.4) следует, что второй член в правой части расщепления (1.1) в свою очередь может быть разложен на гиперболическую и эллиптическую составляющие. В отличие от (1.1) в расщеплении (1.4) гиперболическая часть градиента давления является его основной составляющей даже при  $M_\xi^2 \ll 1$ . Это позволяет построить на основе этого расщепления эффективную приближенную модель – гиперболическое приближение уравнений Навье–Стокса.

**2. Гиперболическое приближение для внутренних течений.** Рассмотрим стационарное ламинарное течение вязкого теплопроводного совершенного газа в плоском или осесимметричном сопле Лавала. Система безразмерных упрощенных уравнений Навье–Стокса в адаптированной ортогональной системе координат  $(\xi, \eta)$  [20] относительно естественных переменных имеет вид

$$y^\nu H_\eta \left( \rho u \frac{\partial u}{\partial \xi} + \frac{\partial p}{\partial \xi} \right) + y^\nu H_\xi \rho v \frac{\partial u}{\partial \eta} - y^\nu H_\xi H_\eta (K_\eta u - K_\xi v) \rho v - \frac{1}{\text{Re}_r} \left\{ \frac{\partial}{\partial \eta} \left[ \mu y^\nu H_\xi \left( \frac{1}{H_\eta} \frac{\partial u}{\partial \eta} + K_\eta u \right) \right] - \mu y^\nu H_\xi H_\eta K_\eta \left( \frac{1}{H_\eta} \frac{\partial u}{\partial \eta} + K_\eta u \right) \right\} = 0 \quad (2.1)$$

$$H_\eta \rho u \frac{\partial v}{\partial \xi} + H_\xi \left( \rho v \frac{\partial v}{\partial \eta} + \frac{\partial p}{\partial \eta} \right) + H_\xi H_\eta (K_\eta u - K_\xi v) \rho u = 0 \quad (2.2)$$

$$y^\nu H_\eta \rho u \frac{\partial T^*}{\partial \xi} + y^\nu H_\xi \rho v \frac{\partial T^*}{\partial \eta} - \frac{1}{\text{Re}_r} \frac{\partial}{\partial \eta} \left\{ y^\nu H_\xi \mu \left[ (\gamma - 1) u \left( \frac{1}{H_\eta} \frac{\partial u}{\partial \eta} + K_\eta u \right) + \frac{1}{\text{Pr} H_\eta} \frac{\partial T}{\partial \eta} \right] \right\} = 0, \quad T^* = T + \frac{1}{2}(\gamma - 1)(u^2 + v^2) \quad (2.3)$$

$$\frac{\partial}{\partial \xi} (y^\nu H_\eta \rho u) + \frac{\partial}{\partial \eta} (y^\nu H_\xi \rho v) = 0 \quad (2.4)$$

$$\rho = \gamma \frac{p}{T} \quad (2.5)$$

где  $H_\xi, H_\eta$  – параметры Ламе ортогональной системы координат  $(\xi, \eta)$  [20], причем координата  $\xi$  является продольной, а  $\eta$  – поперечной;  $K_\xi, K_\eta$  – кривизны координатных линий  $\xi = \text{const}$  и  $\eta = \text{const}$  [21];  $x, y$  – декартовы (плоское течение,  $v = 0$ ) или цилиндрические (осесимметричное течение,  $v = 1$ ) координаты;  $y = y_w(x)$  – контур стенки сопла;  $u$  и  $v$  – проекции вектора среднemasсовой скорости на линии  $\eta = \text{const}$  и  $\xi = \text{const}$ ;  $\rho, p$  и  $T$  – плотность, статическое давление и температура газа;  $\mu$  – коэффициент динамической вязкости.

В уравнениях (2.1)–(2.5) использованы безразмерные переменные, построенные по масштабам:  $\rho_0, T_0$  – значения на оси во входном сечении сопла,  $u_0$  – величина скорости звука  $\sqrt{\gamma R T_0}$ , где  $R$  – газовая постоянная,  $\rho_0 = \rho_0 u_0^2, r_0$  – радиус критического сечения сопла; а также – безразмерные комплексы:  $\text{Re}_r = \rho_0 \mu_0 r_0 / \mu_0$  – число Рейнольдса,  $\gamma = c_{p0} / c_{v0}$  – отношение удельных теплоемкостей при постоянном давлении и объеме,  $\text{Pr}$  – число Прандтля.

В системе уравнений (2.1)–(2.5) учитываются члены второго порядка теории пограничного слоя [30, 31] и в отличие от упрощенных уравнений модели гладкого канала [32] все члены уравнений Эйлера, включая члены порядка  $O[(u/u)^2]$ . Более простая модель [32] достаточно хорошо описывает вязкие смешанные безотрывные течения со значительным искривлением линий тока.

Получим неэллиптическую систему уравнений из системы уравнений (2.1)–(2.5) эллиптико-гиперболического типа, упрощая ее следующим образом.

Представим давление  $p$  в мультипликативной форме

$$p = p_a(\xi) \varphi(\xi, \eta) \quad (2.6)$$

Для давления на оси сопла  $p_a(\xi)$  имеем тривиальное уравнение

$$\frac{\partial p_a}{\partial \eta} = 0 \quad (2.7)$$

Заменим градиент давления в уравнении (2.1) на выражение

$$\frac{\partial p}{\partial \xi} \approx \varphi \left( \frac{\partial p_a}{\partial \xi} \right) + \omega p_a \left( \frac{\partial \varphi}{\partial \xi} \right) \quad (2.8)$$

а весовую функцию  $\omega(\xi, \eta)$  возьмем в виде (1.2),

$$\omega = \min \left\{ 1, \sigma \frac{\gamma M_\xi^2}{1 + (\gamma - 1) M_\xi^2} \right\}, \quad 0 \leq \sigma < 1 \quad (2.9)$$

где  $M_\xi = u / T^{1/2}$  – определенное по продольной составляющей скорости локальное значение числа Маха.

Исключим из уравнений (2.1)–(2.4) плотность с помощью уравнения состояния (2.5), а давление с помощью (2.6), и определим тип системы уравнений (2.1)–(2.4), (2.7), записанной относительно неизвестных  $u, v, T, \varphi, p_a$  с учетом замены (2.8). Следуя [13, 24], характеристический анализ системы уравнений был проведен в предельных случаях невязкого и полностью вязкого течений [5, 13]. В результате такого анализа оказалось, что выражение для весовой функции (2.9) обеспечивает  $\xi$ -гиперболичность системы уравнений для обоих предельных случаев. Это полностью согласуется с выводом [13], что математические свойства упрощенной системы уравнений, обусловленные наличием в них продольного градиента давления, фактически определяются невязкой природой акустического механизма передачи информации о структуре течения. Поэтому, для краткости, приведем характеристическое уравнение только для невязкой части уравнений

$$\det(\lambda A - B) = 0 \quad (2.10)$$

где  $A$  и  $B$  – матрицы при продольных и поперечных градиентах искомых функций,  $\lambda$  – собственные значения. Это уравнение приводится к виду

$$(zu - H_\xi v)^2 (az^2 + bz + c) = 0, \quad z = \lambda H_\eta \quad (2.11)$$

$$a = \gamma M_\xi^2 - \omega [1 + (\gamma - 1) M_\xi^2]$$

$$b = -H_\xi M_\xi M_\eta [\gamma + 1 - \omega(\gamma - 1)], \quad c = -H_\xi^2 (1 - M_\eta^2) \quad (2.12)$$

Здесь  $M_\eta$  – локальное значение числа Маха, определенное по поперечной составляющей скорости  $v$ . Дискриминант  $D$  квадратного уравнения  $az^2 + bz + c = 0$  имеет вид

$$D = H_\xi^2 \{4a + M_\eta^2 [(1 - \omega)^2 (\gamma - 1)^2 M_\xi^2 + 4\omega]\}$$

Характеристическое уравнение (2.10) имеет только действительные собственные значения, а рассматриваемая система уравнений гиперболическая относительно переменной  $\xi$  во всем диапазоне изменения числа Маха  $M_\xi$  [12, 13], если дискриминант  $D \geq 0$ . Выражение для  $\omega$  (2.9) обеспечивает выполнение этого неравенства.

Соответствующую системе уравнений (2.1)–(2.4), (2.6)–(2.8) модель вязких внутренних течений будем называть гиперболической моделью гладкого канала в отличие от других моделей гладкого канала: параболической [20, 21], основанной на параболической системе уравнений, и эллиптико-гиперболической, базирующейся на системе уравнений (2.1)–(2.5). Гиперболическая модель при  $\sigma \approx 1$  описывает течение в сверхзвуковых областях течения так же, как и эллиптико-гиперболическая модель, и максимально полно учитывает невязкую передачу возмущений по потоку и не учитывает ее против потока. Эллиптические свойства исходной системы уравнений, записанной относительно переменных  $u, v, T, \varphi$  и  $p_a$  в дозвуковых областях течения связаны с частью градиента давления  $(1 - \omega)p_a \partial \varphi / \partial \xi$  в уравнении продольного импульса (2.1). Производная  $\partial \varphi / \partial \xi$  характеризует степень отклонения от локального подобия нормированных профилей давления поперек сопла: если  $\partial \varphi / \partial \xi = 0$ , то поперечные профили локально подобны.

Расчетная область ограничивается осью симметрии  $\eta = 0$ , твердой криволинейной стенкой  $\eta = 1$ , входным и выходным сечениями.

Для уравнений (2.1) и (2.3) второго порядка относительно  $\eta$  задаются следующие краевые условия: прилипания на стенке  $u = 0$  и либо теплоизоляция стенки  $\partial T / \partial \eta = 0$ , либо для фиксированной температуры  $T = T_w$ , симметрии на оси  $\partial u / \partial \eta = \partial T / \partial \eta = 0$ . Для уравнений (2.2), (2.4), (2.7) первого порядка относительно  $\eta$  на стенке задается условие  $v = 0$ , а на оси  $-v = 0, \varphi = 1$ .

Во входном сечении, расположенном в дозвуковой области, для эволюционных по продольной координате уравнений (2.1)–(2.4) задаются профили  $u/u_a$  ( $u_a$  – скорость

на оси),  $v/u_a$ ,  $T$  как функции поперечной координаты  $\eta$ , а также значение давления  $p_a$  на оси. Профиль  $\phi$  в этом сечении определяется из условия  $\partial^2\phi/\partial\xi^2 = 0$ . Осевое значение скорости и критический расход газа [1] определяются из дополнительного условия на правой границе дозвуковой области, т.е. на звуковой линии. Это граничное условие есть условие гладкого продолжения решения через звуковую линию  $M_\xi = 1$ , на которой плохо обусловлена эволюционная матрица коэффициентов при продольных градиентах  $u$ ,  $v$ ,  $T$  и  $p_a$  в системе уравнений гиперболической модели. На этой линии также равен нулю детерминант матрицы при аналогичных градиентах  $u$ ,  $v$ ,  $T$  и  $p$  в исходной системе уравнений (2.1)–(2.4) после исключения из нее плотности с помощью уравнения состояния [32].

**3. Гиперболическое приближение для внешних течений.** Построим гиперболическое приближение уравнений Навье–Стокса для внешних течений. Будем рассматривать стационарное течение вязкого, теплопроводного совершенного газа в ударном слое у гладкого осесимметричного или плоского затупленного тела, обтекаемого под нулевым углом атаки. Возьмем в качестве исходной систему уравнений полного вязкого ударного слоя [33], которая при умеренных и больших числах Рейнольдса дает описание течения, близкое к описанию с помощью уравнений Навье–Стокса [34, 35]. В криволинейных координатах  $\xi$ ,  $\eta$  она имеет вид

$$g \frac{\partial}{\partial \xi} (\rho u^2) + \tau_{y_s} \frac{\partial p}{\partial \xi} + \frac{\partial}{\partial \eta} \left[ f \rho u - \tau \eta y'_s p - \frac{\tau H \mu}{\text{Re}_\infty} \left( \frac{1}{y_s} \frac{\partial u}{\partial \eta} - \frac{K_w u}{H} \right) \right] - \frac{\tau K_w y_s \mu}{\text{Re}_\infty} \times$$

$$\times \left( \frac{1}{y_s} \frac{\partial u}{\partial \eta} - \frac{K_w u}{H} \right) + (h + \tau K_w y_s \sin \alpha) \rho u^2 + \tau K_w y_s \rho u v + (2\tau - 1) y'_s p = 0 \quad (3.1)$$

$$g \frac{\partial}{\partial \xi} (\rho u v) + \frac{\partial}{\partial \eta} (f \rho v + \tau H p) - g K_w \rho u^2 + h \rho u v - q y_s p = 0 \quad (3.2)$$

$$g \frac{\partial}{\partial \xi} (\rho u T^*) + \frac{\partial}{\partial \eta} \left\{ f \rho T^* - \frac{\tau H \mu}{\text{Re}_\infty} \left[ \frac{1}{y_s \text{Pr}} \frac{\partial T}{\partial \eta} + u \cos^2 \alpha \left( \frac{1}{y_s} \frac{\partial u}{\partial \eta} - \frac{K_w u}{H} \right) \right] \right\} + h \rho u T^* = 0$$

$$T^* = T + \frac{1}{2} (u^2 \cos^2 \alpha + v^2) \quad (3.3)$$

$$g \frac{\partial}{\partial \xi} (\rho u) + \frac{\partial}{\partial \eta} (f \rho) + h \rho u = 0 \quad (3.4)$$

$$\rho = \frac{\gamma}{\gamma - 1} \frac{p}{T} \quad (3.5)$$

$$\xi = \int_0^x \cos \alpha dx, \quad \eta = \frac{y}{y_s}, \quad \tau = \left( \frac{r}{r_w} \right)^\nu, \quad r = r_w + \eta y_s \cos \alpha, \quad r_w = \int_0^x \sin \alpha dx$$

$$H = 1 + K_w \eta y_s, \quad y'_s = \frac{dy_s}{d\xi}, \quad f = \tau (H v - \eta y'_s u \cos^2 \alpha), \quad g = \tau y_s \cos^2 \alpha$$

$$h = (2\tau - 1) y'_s \cos^2 \alpha + q y_s \sin \alpha, \quad q = \nu H \frac{\cos \alpha}{r_w} + \tau K_w$$

Здесь  $x$ ,  $y$  – связанные с поверхностью обтекаемого тела естественные ортогональные координаты;  $r_w$ ,  $K_w$  – контур обтекаемого тела и его кривизна;  $\alpha$  – угол между касательной к поверхности и осью симметрии тела;  $u \cos \alpha$ ,  $v$  – касательная и нормальная к поверхности составляющие вектора среднемассовой скорости;  $y_s$  – отход ударной волны.

В системе уравнений (3.1)–(3.4) все величины, имеющие размерность длины, отнесены к радиусу затупления  $R_{w(0)}$ , компоненты вектора скорости – к  $V_\infty$ , плотность – к  $\rho_\infty$ , давление – к  $\rho_\infty V_\infty^2$ , температура – к  $V_\infty^2 / c_p$ , коэффициент вязкости – к  $\mu_\infty$ . Нижние индексы  $\infty$ ,  $w$ ,  $0$  и  $s$  здесь и далее приписаны значениям величин в набегающем потоке, на теле, на оси симметрии и непосредственно за ударной волной.

Производная от контура ударной волны, входящая в уравнения (3.1)–(3.4), связана с ее отходом  $y_s$  геометрическим соотношением

$$\frac{dy_s}{d\xi} = \frac{\operatorname{tg}(\beta - \alpha)}{\cos \alpha} H_s, \quad H_s = 1 + K_w y_s \quad (3.6)$$

где  $\beta$  – угол между касательной к ударной волне и осью симметрии тела.

Неэллиптическую модель получим из системы уравнений полного вязкого ударного слоя, упрощая ее способом, аналогичным тому, который был использован выше для получения упрощенных уравнений внутренних течений. Представим давление  $p$  в мультипликативной форме

$$p = p_s(\xi) \varphi(\xi, \eta) \quad (3.7)$$

при этом для давления  $p_s(\xi)$  непосредственно за ударной волной имеем тривиальное уравнение

$$\frac{\partial p_s}{\partial \eta} = 0 \quad (3.8)$$

Градиент давления в уравнении (3.1) представим выражением, аналогичным (2.8), в котором  $p_a$  заменено на  $p_s$ , а в выражении для весовой функции (2.9)  $M_\xi - M_x$  – локальное значение числа Маха, вычисленное по продольной составляющей скорости  $u \cos \alpha$ .

Определим математический тип полученной системы дифференциальных уравнений (3.1)–(3.4), (3.6), (3.8) с учетом (2.8), записав ее относительно неизвестных  $u$ ,  $v$ ,  $T$ ,  $\varphi$ ,  $p_s$ ,  $y_s$  и исключив из уравнений (3.1)–(3.4) плотность  $\rho$  с помощью уравнения состояния (3.5), а  $dy_s/d\xi$  с помощью (3.6). Для исследования этого вопроса применяется такой же подход, что в случае внутренних течений. Характеристическое уравнение для невязкой части системы уравнений можно привести к виду

$$\lambda(zu \cos \alpha - Hv)^2 (az^2 + bz + c) = 0$$

$$z = \lambda y_s \cos \alpha + \varepsilon$$

$$a = \gamma M_x^2 - \omega[1 + (\gamma - 1)M_x^2]$$

$$b = -HM_x M_y [\gamma + 1 - \omega(\gamma - 1)] - \varepsilon(1 - \omega)[1 + (\gamma - 1)M_x^2]$$

$$c = -H^2(1 - M_y^2) + \varepsilon(1 - \omega)(\gamma - 1)HM_x M_y$$

Здесь  $M_y$  – локальное значение числа Маха, определенное по поперечной составляющей скорости  $v$ ;  $\varepsilon = \eta H_s \operatorname{tg}(\beta - \alpha)$ .

Характеристическое уравнение имеет только действительные собственные значения. Следовательно, рассматриваемая система уравнений имеет гиперболический тип относительно переменной  $\xi$  во всем диапазоне изменения числа Маха  $M_x$  [12, 13], как и система упрощенных уравнений для внутренних течений.

Полученную упрощенную систему уравнений будем называть моделью гиперболического вязкого ударного слоя. Упрощение связано с гиперболическим приближением продольного градиента давления, описываемого аналогом формулы (2.8), в уравнении продольного импульса. При  $\sigma \approx 1$  эта модель описывает сверхзвуковые области течения так же, как и модель полного вязкого ударного слоя, и максимально



полно учитывает невязкую передачу возмущений по потоку, и не учитывает ее против потока. Эллиптические свойства исходной системы уравнений связаны с частью градиента давления  $(1 - \omega)p_s \partial \phi / \partial \xi$  в (3.1), которая в гиперболической системе отсутствует. Производная  $\partial \phi / \partial \xi$  характеризует степень отклонения от локального подобия нормированных профилей давления поперек ударного слоя.

Краевыми условиями для уравнений (3.1)–(3.4), (3.8) относительно переменных  $u$ ,  $v$ ,  $T$ ,  $\phi$ ,  $p_s$  являются: на ударной волне ( $\eta = 1$ ) – три из четырех обобщенных соотношений Ренкина–Гюгонио для  $u_s$ ,  $v_s$ ,  $T_s$  [9, 36] и  $\phi_s = 1$ ; на обтекаемой поверхности ( $\eta = 0$ ) – заданная температура, условия прилипания и непротекания для компонент скорости. Оставшееся (четвертое) соотношение Ренкина–Гюгонио

$$p_s = \frac{1}{\gamma M_\infty^2} + \left( 1 - \frac{\gamma - 1}{\gamma} \frac{T_s}{p_s} \right) \sin^2 \beta \quad (3.9)$$

связывает угол  $\beta$  с  $p_s$  и  $T_s$  и совместно с уравнением (3.6) служит для определения отхода ударной волны  $y_s$ .

Начальные условия для искоемых функций на оси (плоскости) симметрии определяются из решения системы обыкновенных дифференциальных уравнений, в которые при  $\xi = 0$  вырождаются уравнения (3.1)–(3.4), (3.8). При этом распределения искоемых функций на оси симметрии, а также значение отхода  $y_{s0}$  зависят от величины кривизны ударной волны  $K_{s0}$ .

Кривизна ударной волны  $K_{s0}$  определяется из дополнительного условия на правой границе дозвуковой области (звуковой линии  $M_x = 1$ ). Детерминант эволюционной матрицы при продольных градиентах  $u$ ,  $v$ ,  $T$ ,  $p_s$  в уравнениях гиперболического вязкого ударного слоя, как и детерминант матрицы при градиентах  $u$ ,  $v$ ,  $T$ ,  $p$  в уравнениях полного вязкого ударного слоя, на звуковой линии равен нулю. Вследствие плохой обусловленности эволюционной матрицы интегральные кривые уравнений гиперболического вязкого ударного слоя, соответствующие различным значениям  $K_{s0}$ , ветвятся в окрестности звуковой линии. Подобное поведение интегральных кривых имеет место и для уравнений, описывающих вязкое смешанное течение в сопле Лаваля [37, 38]. В случае внутренних течений аналогом величины  $K_{s0}$  является величина расхода газа. Аналогично существованию единственного значения критического расхода [1] для уравнений гиперболического вязкого ударного слоя также существует некоторое "критическое" значение  $K_{s0}$ , которому соответствует единственная (предельная) интегральная кривая, которая может быть гладко продолжена за звуковую линию. Эта интегральная кривая и есть искоемое решение задачи.

Численное решение полученной гиперболической системы уравнений находится маршевым методом [38].

**4. Итерационно-маршевый метод решения упрощенных уравнений Навье–Стокса эллиптико-гиперболического типа.** Для оценки точности гиперболического приближения уравнений Навье–Стокса для внутренних и внешних течений оно сравнивалось с исходными газодинамическими моделями, основанными на системах уравнений (2.1)–(2.5) и (3.1)–(3.5) эллиптико-гиперболического типа. Для интегрирования таких систем уравнений имеются эффективные итерационно-маршевые методы, устойчивые во всем диапазоне изменения числа Маха как для внутренних течений [29, 32], так и внешних [5, 25, 39].

В данной работе разработан итерационно-маршевый метод, пригодный для расчета вязких внутренних и внешних течений во всем спектре числа Маха. Этот метод основан на глобальных итерациях только одной функции:  $\partial \phi / \partial \xi$ . Поэтому он алгоритмически проще, чем методы [32] и [5, 25, 39], в которых итерируются пары функций  $u/u_\infty$ ,  $\partial p / \partial \xi$  и  $u_s$ ,  $\partial p / \partial \xi$  соответственно. Предлагаемый алгоритм требует в 4–5 раз меньше глобальных итераций по эллиптическим членам, чем алгоритмы [5, 25, 39], разработанные для расчета вязкого сверхзвукового обтекания затупленных тел. При этом

предполагается, что относительные численные погрешности давления, его продольного градиента, отхода и наклона головной ударной волны меньше чем  $10^{-2}$ . На каждой глобальной итерации предложенного алгоритма требуется три маршевых прохода от линии торможения до звуковой линии (для уточнения значения кривизны  $K_{(s)}$ ) и еще один завершающий марш через всю расчетную область. Нетрудно оценить, что для решения задачи сверхзвукового обтекания данный алгоритм требует, по крайней мере, в 2 раза меньше времени, чем алгоритмы [5, 25, 39]. При увеличении точности расчетов путем уменьшения шага по маршевой координате соотношение между количеством глобальных итераций в методах [5, 25, 39] и предложенном алгоритме возрастает, что обусловлено более быстрой передачей информации вверх по потоку за одну итерацию. Число глобальных итераций для данного алгоритма и [32] близко друг к другу, если в качестве начального решения для алгоритма [32] взять гиперболическое приближение.

В случае внутренних течений для решения системы уравнений (2.1)–(2.5), эллиптической в дозвуковых областях, будем использовать глобальные итерации с фиксацией на каждой из них эволюционных производных, ответственных за передачу информации против потока в дозвуковых областях течения [5, 12, 13, 25–29, 32, 39]. Другими словами, будем находить решение итерациями по продольной составляющей градиента функции  $\varphi$ , характеризующей степень отклонения от локального подобия нормированных поперечных распределений давления. Предварительно в систему уравнений вместо искомого давления  $p$  вводятся две искомые функции  $\varphi$ ,  $p_a$  по формуле (2.6). На текущей глобальной итерации маршевым методом [38] интегрируется регуляризованная система уравнений (2.1)–(2.4), (2.7).

Регуляризация заключается в замене в уравнении (2.1)  $\partial p / \partial \xi$  на выражение

$$\frac{\partial p}{\partial \xi} = \varphi \left( \frac{dp_a}{d\xi} \right)_h + p_a \left[ \omega \left( \frac{\partial \varphi}{\partial \xi} \right)_h + (1 - \omega) \left( \frac{\partial \varphi}{\partial \xi} \right)_e \right] \quad (4.1)$$

Эволюционные производные с индексом "h" отвечают за передачу информации по потоку, а с "e" – против потока. Градиент  $(\partial \varphi / \partial \xi)_e$  рассчитывается по полю функции  $\varphi$ , вычисленному на предыдущей глобальной итерации. Передача информации против течения в дозвуковых областях учитывается тем, что при разностной аппроксимации производной  $(\partial \varphi / \partial \xi)_e$  на текущем маршевом слое используются значения  $\varphi$  вниз по потоку от этого слоя.

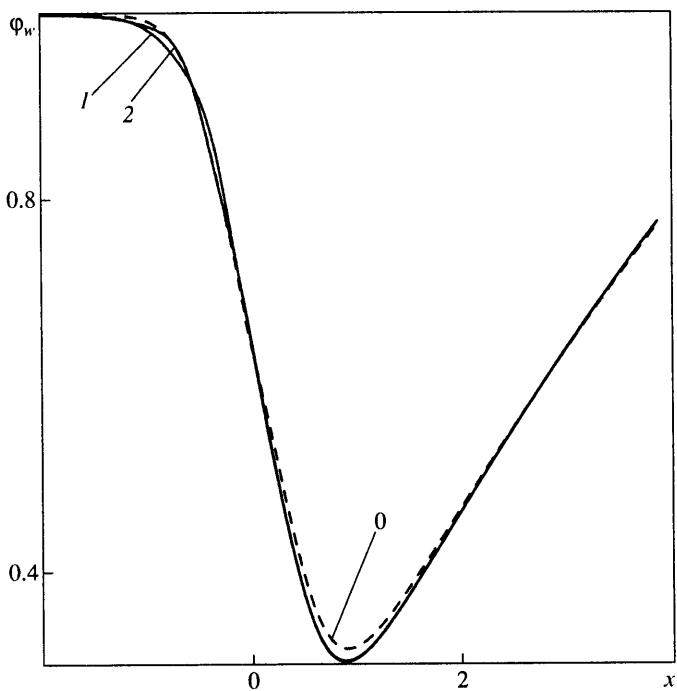
Расщепление продольного градиента давления (4.1) на гиперболическую и эллиптическую составляющие можно представить также в виде (1.4) с  $p_m = p_a$ .

В случае сверхзвукового истечения из сопла [1] при расчете  $(\partial \varphi / \partial \xi)_e$  в выходном сечении используется мягкое граничное условие  $\partial^2 \varphi / \partial \xi^2 = 0$  [40]. Распределение  $\varphi$  во входном сечении определялось путем линейной экстраполяции из внутренних точек расчетной области, т.е. из условия  $\partial^2 \varphi / \partial \xi^2 = 0$ .

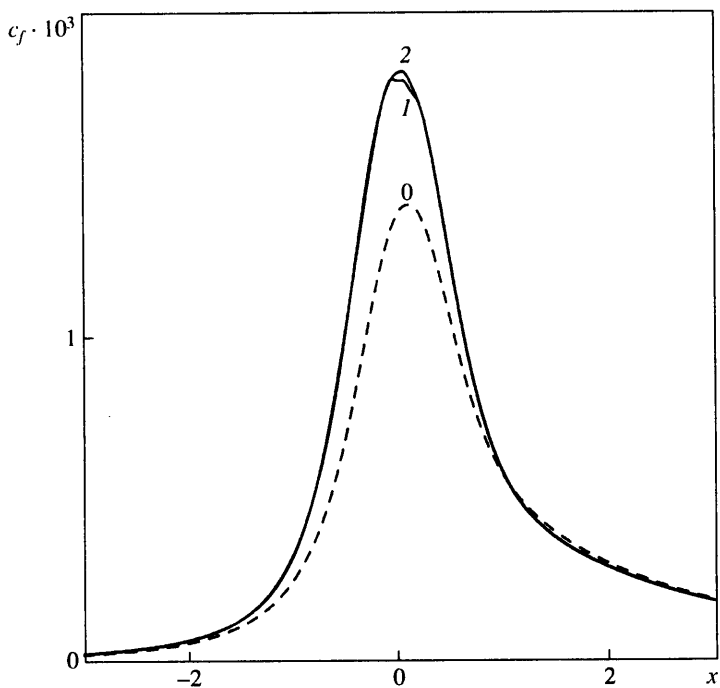
Используемая при интегрировании неявная конечно-разностная схема [38] имеет четвертый порядок точности по координате  $\eta$  и второй по координате  $\xi$ . В расчетах вводилась неравномерная сетка со сгущением узлов к стенке и к критическому сечению сопла. Разностные уравнения на каждом маршевом шаге решались векторной прогонкой. При расчете течения в сопле Лаваля коэффициент  $\sigma$  в формуле (2.9) брался в интервале  $0.97 \leq \sigma \leq 0.99$ .

В качестве начального приближения для решения системы уравнений (2.1)–(2.5) применяется гиперболическое приближение с  $(\partial \varphi / \partial \xi)_e = 0$  в (4.1).

Поскольку значения производной  $(\partial \varphi / \partial \xi)_e$  используются лишь в дозвуковых областях течения, где  $1 - \omega \neq 0$ , то гиперболическое приближение близко к точному решению, если в дозвуковых областях выполняется условие  $\ln \varphi / \partial \xi \ll \ln p_a / \partial \xi$  – условие локального подобия для нормированных поперечных распределений давления.



Фиг. 1. Сходимость итераций для распределений приведенного давления  $\varphi$  на стенке; цифры указывают номер глобальной итерации, 0 – гиперболическое приближение



Фиг. 2. Сходимость итераций для распределения коэффициента трения  $c_f$ ; цифры указывают номер глобальной итерации

При расчете течения в ударном слое в рамках системы уравнений (3.1)–(3.5) полного вязкого ударного слоя [33] в выражении для продольного градиента давления (4.1)  $p_a$  заменено на  $p_s$ .

Система уравнений (3.1)–(3.4) и (3.8) интегрировалась с помощью неявной конечно-разностной схемы [38]. Использовалась неравномерная сетка со сгущением к поверхности тела. Разностные аналоги уравнений (3.1)–(3.4), (3.8) для  $u, v, T, \phi, p_s$  на каждом маршевом слое решались векторной прогонкой совместно с уравнениями (3.6), (3.9) для  $y_s$ . Коэффициент  $\sigma$  полагался равным 0.95. В качестве начального приближения для итерационного процесса использовалось гиперболическое приближение.

**5. Результаты расчетов для течения через сопло Лавала.** Точность гиперболического приближения для внутренних вязких смешанных течений демонстрируется на примере расчета течения воздуха с  $Re_r = 10^6$  в коническом сопле с углами полураствора сужающегося и расширяющегося конусов, равных  $30^\circ$ , и кривизной горла  $K_w = 1.0$  и углами полураствора  $45$  и  $15^\circ$  и кривизной  $1.6$ .

Скорость сходимости глобальных итераций по полю функции  $\phi$  показана на фиг. 1, где приводятся ее распределения на стенке  $\phi_w$  для гиперболического приближения, первой и второй итераций. Абсциссе  $x = 0$  на графиках соответствует минимальное сечение сопла. Видно, что гиперболическое приближение дает решение, близкое к точному решению эллиптико-гиперболической системы уравнений (2.1)–(2.5), несмотря на то, что  $\phi_w$  вблизи горла сопла падает в 3 раза. Сходимость коэффициента вязкого трения на стенке  $c_f$  показана на фиг. 2. Уже первая глобальная итерация дает распределение  $c_f$  вдоль стенки, близкое к точному распределению.

Распределения давления  $p$  на оси и стенке, нормированные на давление торможения  $p_*$ , для гиперболического приближения и эллиптико-гиперболической модели гладкого канала показаны на фиг. 3 и 4. Видно, что гиперболическое приближение хорошо воспроизводит поле давления для сопла с  $K_w = 1.0$  и удовлетворительно с кривизной  $1.6$ .

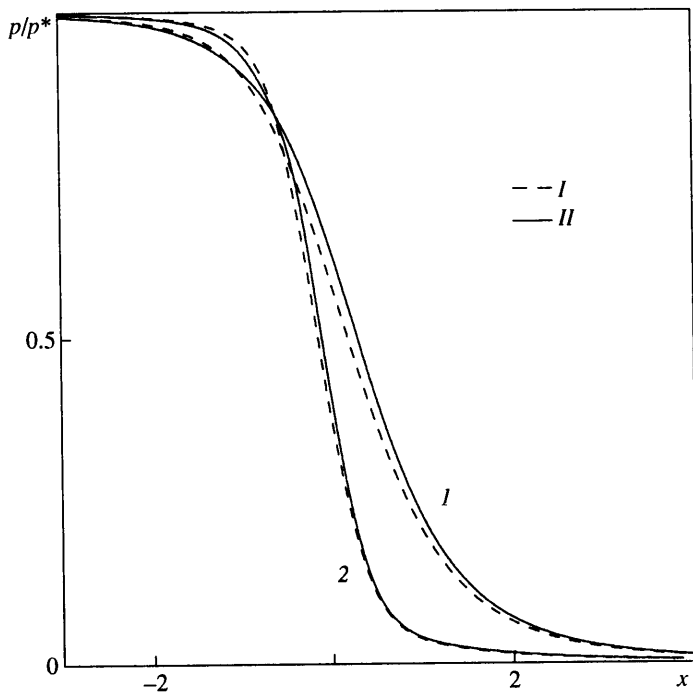
**6. Результаты расчетов для течения в ударном слое.** Точность гиперболического приближения для внешних вязких смешанных течений демонстрируется на примере расчета сверхзвукового обтекания сферы и затупленного по сфере цилиндра большого удлинения воздухом с  $\gamma = 1.4$ ,  $\mu \sim T^{0.5}$ ,  $Pr = 0.7$ .

Ответвление распределений  $(d\phi/d\xi)_w$  от искомого предельного распределения около звуковой линии для случая обтекания сферы показано на фиг. 5. По оси абсцисс отложены значения азимутального угла  $\theta = \pi/2 - \alpha$ . Предельное решение получается при интегрировании путем перехода вблизи звуковой линии с полностью неявной схемы на неявную с экстраполяцией производной  $dp_s/d\xi$  только в уравнении продольного импульса [38]. Это обеспечивает хорошую обусловленность эволюционной матрицы во всей расчетной области.

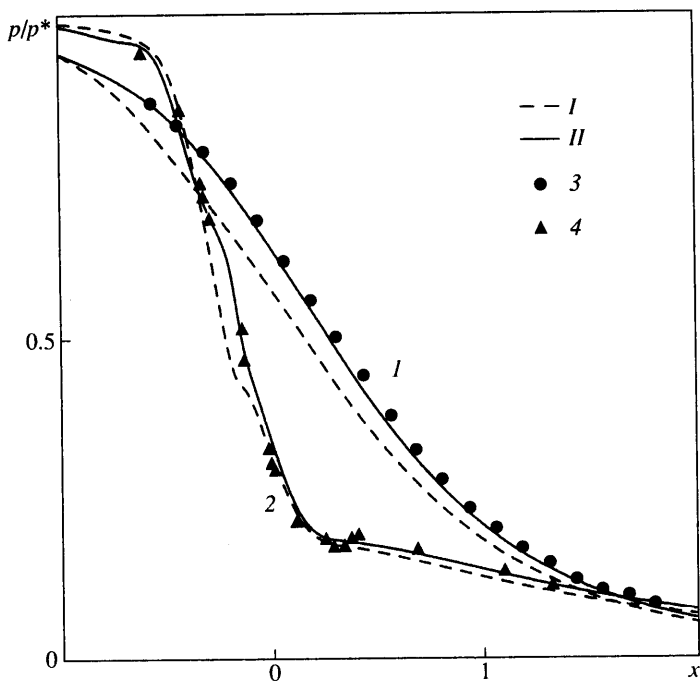
Уменьшение максимальных невязок  $\Delta f^k = f^k - f^{k-1}$  газодинамических функций  $f = y_s, dy_s/d\xi$  и  $p$  в зависимости от номера глобальной итерации  $k$  для случая обтекания охлаждаемой сферы ( $T_w = 0.2$ ) сверхзвуковым потоком с  $M_\infty = 5$ ,  $Re_\infty = 10^3$  показано на фиг. 6. Нулевой итерации соответствует гиперболическое приближение. Видно, что невязки  $\Delta f^k$  убывают приблизительно по линейному закону. Для получения решения уравнений полного вязкого ударного слоя с точностью до 1% достаточно одной глобальной итерации.

Расчитанные по различным моделям распределения относительного давления  $p_w/p_{w(0)}$  вдоль поверхности сферы приведены на фиг. 7. Видно, что они близки для моделей гиперболического и полного вязкого ударного слоя. Погрешность модели [23], наилучшей из моделей [22, 23], значительна при  $\theta > \pi/4$ .

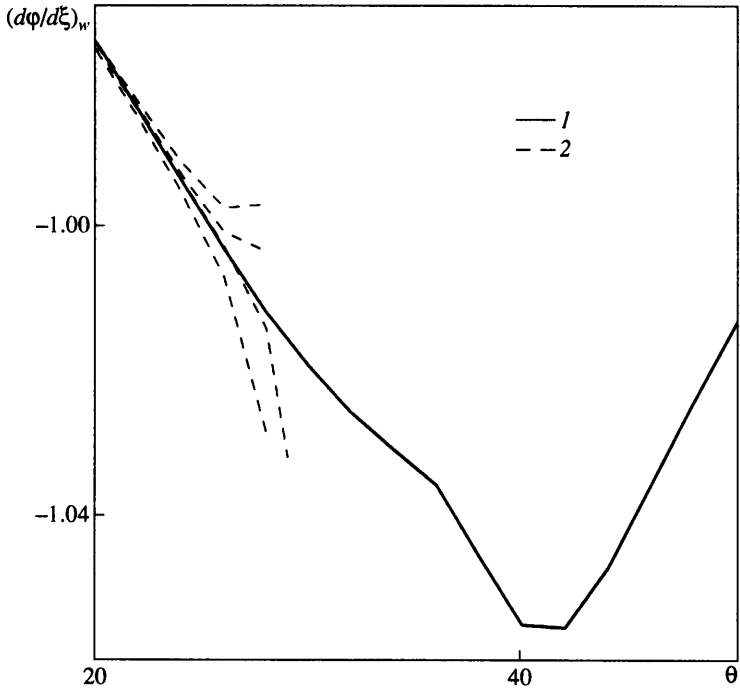
Распределения относительного теплового потока  $q_w/q_{w(0)}$  вдоль поверхности сферы показаны на фиг. 8. Видно, что результаты расчетов по моделям гиперболического и полного вязкого ударного слоя близки.



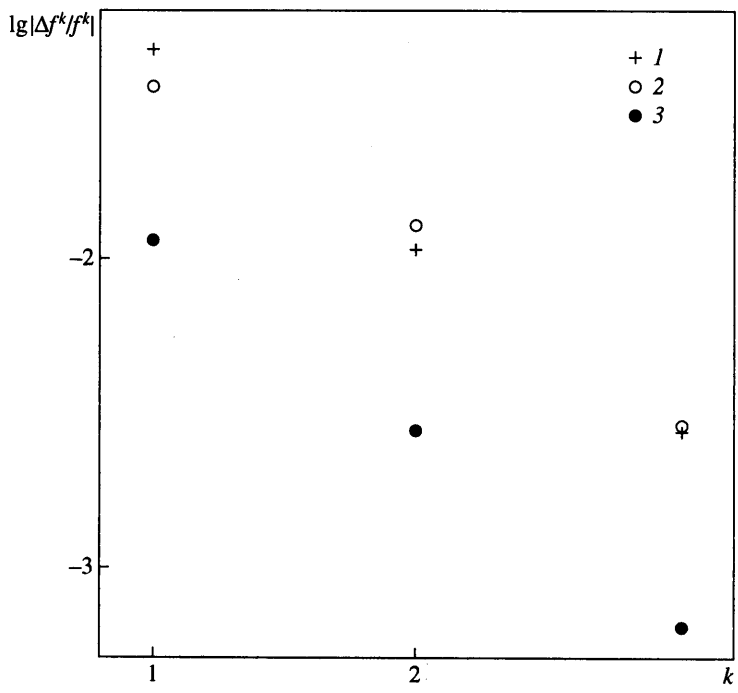
Фиг. 3. Распределения давления  $p/p_*$  на оси (1) и стенке (2) для  $K_w = 1.0$  и адиабатической стенки: I – гиперболическое приближение, II – эллипτικο-гиперболическая модель гладкого канала



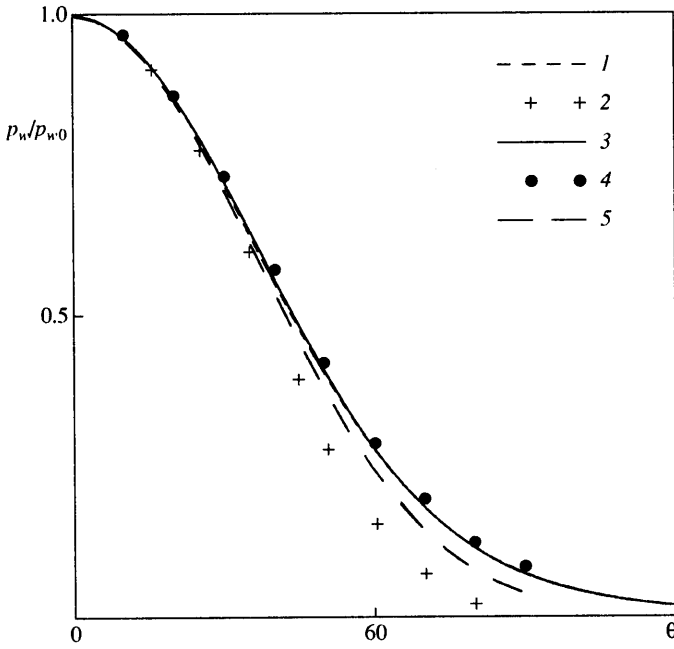
Фиг. 4. Распределения давления  $p/p_*$  на оси (1, 3) и стенке (2, 4) для  $K_w = 1.6$  и адиабатической стенки: I – гиперболическое приближение, II – эллипτικο-гиперболическая модель гладкого канала; 3, 4 – экспериментальные данные [41]



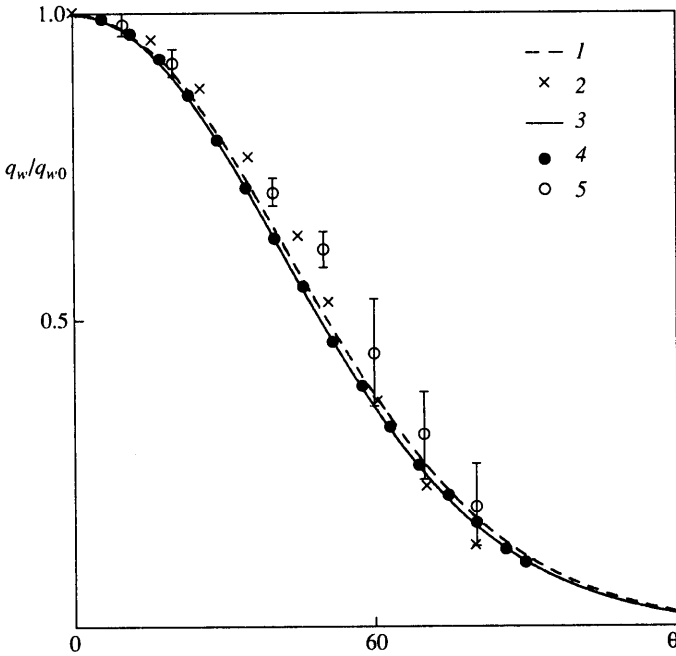
Фиг. 5. Ветвление решений, соответствующих разным значениям кривизны  $K_{s0}$  ударной волны на оси симметрии, вблизи звуковой линии: 1 – искомое предельное решение, 2 – ответвляющиеся от предельного решения



Фиг. 6. Убыль невязки  $\Delta f$  газодинамической функции  $f$  в зависимости от номера глобальной итерации  $k$  для  $f = y_s, dy_s/d\xi$  и  $p$  (точки 1-3)



Фиг. 7. Распределения давления  $p_w/p_{w0}$  вдоль поверхности сферы для  $M_\infty = 10$ ,  $Re_\infty = 10^3$ ,  $T_w = 0.2$ : 1 – расчеты по модели гиперболического вязкого ударного слоя; 2 – по модели [23] ( $Re_\infty = 10^4$ ); 3, 4 – по модели полного вязкого ударного слоя, полученные в данной работе методом глобальных итераций и в [42] методом установления; 5 – по уравнениям Эйлера [43]



Фиг. 8. Распределения теплового потока  $q_w/q_{w0}$  вдоль поверхности сферы для  $M_\infty = 7.5$ ,  $Re_\infty = 10^3$ ,  $T_w = 0.24$ ; 1 – расчеты по модели гиперболического вязкого ударного слоя; 2 – по модели [23] ( $Re_\infty = 10^4$ ); 3, 4 – по модели полного вязкого ударного слоя, полученные в данной работе методом глобальных итераций и в [42] методом установления; 5 – экспериментальные данные [44]

Сравнение рассчитанных по моделям гиперболического и полного вязкого ударного слоя полных сопротивлений лобовых и боковых поверхностей затупленных по сфере цилиндров разного удлинения  $L$  показано на фиг. 9. Точка на фигуре – расчет сопротивления полусферы по полным уравнениям Навье–Стокса [3]. Различие составляет менее 1–2%.

**7. Задача о снижении сопротивления тела путем регулирования температуры его поверхности.** Рассмотрим важную для практики задачу возможного снижения аэродинамического сопротивления тела с помощью поддержания температуры его поверхности на заданном уровне на примере вязкого обтекания сферы сверхзвуковым потоком воздуха. Предполагается, что температура  $T_\infty$  набегающего потока фиксирована (300 К), а его скорость  $u_\infty$  и давление  $p_\infty$ , а также температура поверхности  $T_w$  являются параметрами задачи.

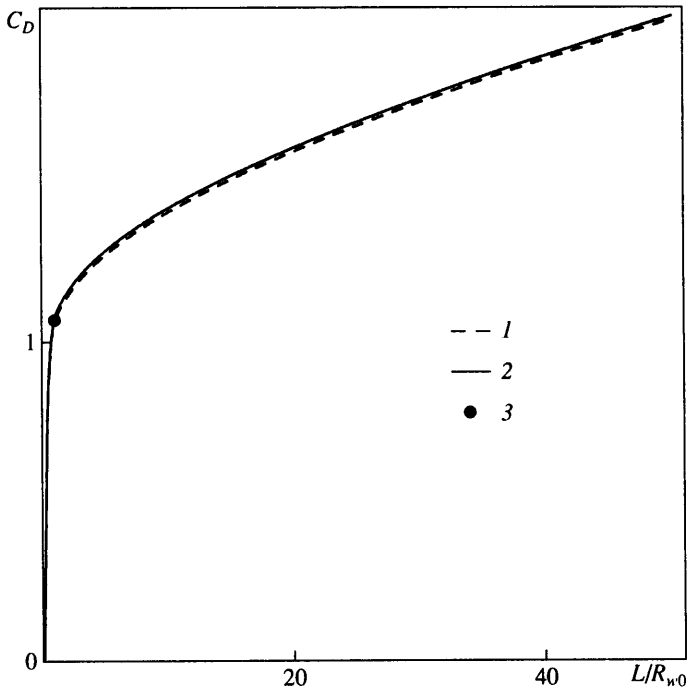
На фиг. 10 представлены результаты расчетов суммарного сопротивления давления и трения сферического сегмента с углом полураствора  $\theta = 2\pi/3$  для различных значений температуры  $T_w$  и числа  $M_\infty$  в широком диапазоне числа Рейнольдса. Вклад в сопротивление донной области сферы мал [3] и здесь не учитывается. Свойства воздуха описываются параметрами:  $\gamma = 1.4$ ,  $\mu \sim T^{0.67}$ ,  $Pr = 0.7$ . Расчеты сопротивления при  $M_\infty = 10$  приведены с использованием только гиперболического приближения. При  $M_\infty = 3$  результаты расчетов по гиперболическому приближению скорректированы путем одной итерации по эллиптической составляющей продольного градиента давления. Поправка в величине сопротивления составляет 1–6%. Из фиг. 10 видно, что при малых и умеренных числах Рейнольдса охлаждение поверхности сферы приводит к снижению ее сопротивления. При этом эффект снижения сопротивления существенно зависит от величины числа Маха: с уменьшением  $M_\infty$  эффект возрастает. Анализ показывает, что данный эффект при значениях числа Рейнольдса, когда ударный слой около тела является полностью вязким, связан с поджатием ударного слоя при его охлаждении.

**Заключение.** Для описания вязких внутренних и внешних стационарных смешанных двумерных течений предложена новая система упрощенных уравнений Навье–Стокса гиперболического типа, решения которой близки к решениям систем уравнений эллипτικο-гиперболического типа [32, 33]. Она получена на основе более детального по сравнению с [24] расщепления продольного градиента давления на эллиптическую и гиперболическую составляющие. На примере расчета смешанных течений в сопле Лавала и ударном слое около обтекаемого сверхзвуковым потоком затупленного тела показано, что вклад эллиптической части уравнений полного вязкого ударного слоя [33] и эллипτικο-гиперболических уравнений гладкого канала [32] в искомые функции невелик. Определяющий вклад в решение вносит гиперболическая часть системы уравнений.

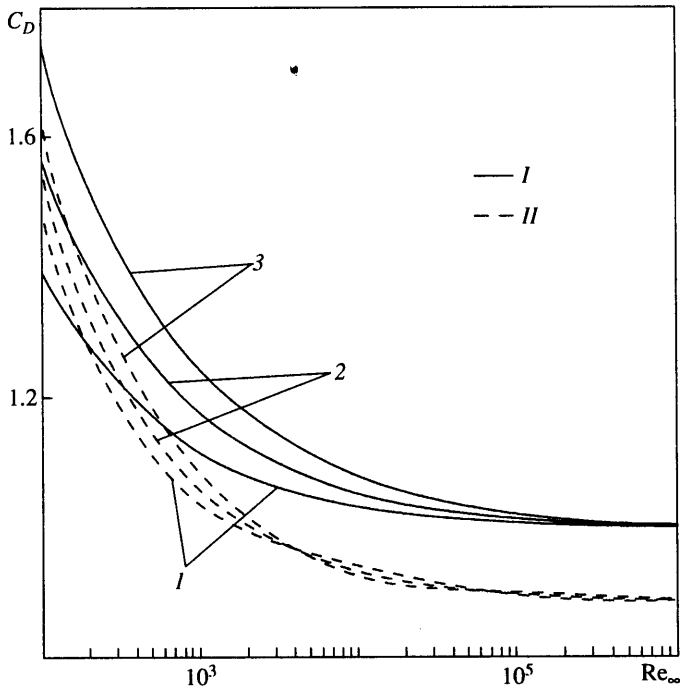
Новая модель – гиперболическое приближение уравнений Навье–Стокса – дает более точное описание смешанных вязких течений в каналах, соплах, в ударном слое около обтекаемых сверхзвуковым потоком затупленных тел при больших и умеренных числах Рейнольдса, чем известные неэллиптические модели. Это продемонстрировано на решении тестовых задач газовой динамики. Гиперболическое приближение позволяет проводить расчеты длинных сопел со значительной продольной кривизной горла и расчеты сверхзвукового обтекания тонких затупленных тел с длинами до сотен калибров. Новая модель хорошо воспроизводит поле давления при течениях в соплах с  $K_w = 1.0$  и удовлетворительно – тепловой поток и трение на стенке. Для внешних течений эта модель достаточно точно предсказывает аэродинамические характеристики – такие, как давление, сопротивление, тепловой поток и др.

На основе качественной аналогии смешанных течений в ударном слое и в сопле Лавала по-новому ставится и решается задача о расчете поля течения в вязком ударном слое около обтекаемого сверхзвуковым потоком затупленного тела. Показано, что если пренебречь акустическим механизмом переноса возмущений или его





Фиг. 9. Зависимости коэффициента полного сопротивления  $C_D$  лобовой и боковой поверхностей затупленного по сфере цилиндра от его удлинения  $L$  при  $M_\infty = 20$ ,  $Re_\infty = 750$  и  $T_w = 0.025$ : 1 – расчеты по модели гиперболического вязкого ударного слоя; 2 – по модели полного вязкого ударного слоя; 3 – сопротивление полусферы – по уравнениям Навье–Стокса [3]



Фиг. 10. Зависимости коэффициента полного сопротивления  $C_D$  сферы от числа Рейнольдса для  $T_\infty = 300$  К: кривые I, II –  $M_\infty = 3$  и 10; кривые 1–3 –  $T_w = 300, 1000$  и 2000 К

"заморозить", то течение в дозвуковой части ударного слоя, включая неизвестный отход головной ударной волны, определяется явлением запираания потока в окрестности звуковой линии. В теории сопла Лавала явление запираания потока в окрестности минимального сечения сопла (в окрестности звуковой линии) также определяет структуру течения в дозвуковой сужающейся части сопла, включая величину массового расхода газа через сопло.

С использованием гиперболического приближения уравнений Навье–Стокса в новой постановке решена задача об определении коэффициента сопротивления холодной и горячей сферы в сверхзвуковом потоке воздуха в широком диапазоне числа Рейнольдса. Обнаружен эффект снижения сопротивления сферы при охлаждении ее поверхности в случае малых и умеренных чисел Рейнольдса. При этом этот эффект существенно зависит от величины числа Маха потока: с его уменьшением эффект возрастает.

На основе указанного расщепления градиента давления численно исследован акустический механизм переноса возмущений против потока для течений со значительным искривлением линий тока. В качестве таких течений рассмотрены течения в сопле Лавала и в ударном слое около сферы. Установлено, что акустический механизм переноса в продольном направлении может быть разделен на глобальный и локальный механизмы. При этом глобальный механизм отвечает за перенос возмущений давления через все поле течения вверх по потоку с помощью интегральных характеристик течения – таких, например, как величина массового расхода газа через сопло. Механизм переноса возмущений давления, связанный с эллиптической составляющей градиента давления, оказался пространственно локальным: уже первая глобальная итерация по этой составляющей градиента давления дает решение эллипτικο-гиперболических систем уравнений, близкое к точному.

В заключение авторы выражают благодарность Г.А. Тирскому за конструктивное обсуждение работы. Работа поддержана Российским фондом фундаментальных исследований (№ 00-01-00151), программами "Ведущие научные школы" (№ 00-15-96030) и Минобразования России в области технических наук (ТОО-6.8-1458).

#### СПИСОК ЛИТЕРАТУРЫ

1. Пирумов У.Г., Росляков Г.С. Течения газа в соплах. М.: Изд-во МГУ, 1978. 351 с.
2. Кокошинская Н.С., Павлов Б.М., Пасконов В.М. Численное исследование сверхзвукового обтекания тел вязким газом. М.: Изд-во МГУ, 1980. 246 с.
3. Белоцерковский О.М. Численное моделирование в механизме сплошных сред. М.: Наука, 1984. 519 с.
4. Лапин Ю.В., Стрелец М.Х. Внутренние течения газовых смесей. М.: Наука, 1989. 368 с.
5. Головачев Ю.П. Численное моделирование течений вязкого газа в ударном слое. М.: Наука; Физматлит, 1996. 374 с.
6. Лапин Ю.В., Нехамкина О.А., Поспелов В.А. и др. Численное моделирование внутренних течений вязких химически реагирующих газовых смесей // Итоги науки и техники. Сер. Механика жидкости и газа. Т. 19. М.: ВИНТИ, 1985. С. 86–185.
7. Герштейн Э.А., Пейгин С.В., Тирский Г.А. Сверхзвуковое обтекание тел при малых и умеренных числах Рейнольдса // Итоги науки и техники. Сер. Механика жидкости и газа. Т. 19. М.: ВИНТИ, 1985. С. 3–85.
8. Тирский Г.А., Утюжников С.В. Современные газодинамические модели внешних и внутренних задач сверх- и гиперзвуковой аэродинамики // Моделирование в механике. 1993. Т. 7. № 2. С. 5–28.
9. Тирский Г.А. Континуальные модели в задачах гиперзвукового обтекания затупленных тел разреженным газом // ПММ. 1997. Т. 61. № 6. С. 903–930.
10. Rubin S.G., Tannehill J.C. Parabolized/reduced Navier–Stokes computational techniques // Annu. Rev. Fluid Mech. 1992. V. 24. P. 117–144.

11. Черный С.Г. О выборе системы координат для численного решения упрощенных уравнений Навье–Стокса // Численные методы механики сплошной среды. Новосибирск: ВЦ СО АН СССР, 1982. Т. 13. № 1. С. 132–146.
12. Fletcher C.A.J. Computational Techniques for Fluid Dynamics. Berlin: Springer-Verlag, 1988. = Флетчер К. Вычислительные методы в динамике жидкостей. М.: Мир, 1991. Т. 1. 502 с.; Т. 2, 552 с.
13. Anderson D.A., Tannehill J.C., Pletcher R.H. Computational Fluids Mechanics and Heat Transfer. Washington: Hemisphere, 1984. = Андерсон Д., Таннехилл Дж., Плетчер Р. Вычислительная гидромеханика и теплообмен. М.: Мир, 1990. Т. 1. 384 с.; Т. 2. 726 с.
14. Ковеня В.М., Яненко Н.Н. Метод расщепления в задачах газовой динамики. Новосибирск: Наука, 1981. 304 с.
15. Williams J.C. Viscous compressible and incompressible flow in slender channels // AIAA Journal. 1963. V. 1. № 1. P. 186–195.
16. Patankar S.V., Spalding D.B. A calculation procedure for heat, mass, and momentum transfer in three-dimensional parabolic flows // Intern. J. Heat and Mass Transfer. 1972. V. 15. № 10. P. 1787–1806.
17. Roberts D.W., Forester C.K. Parabolic procedure for flows in ducts with arbitrary cross sections // AIAA Journal. 1979. V. 17. № 1. P. 33–40.
18. Briley W.R. Numerical method for predicting three-dimensional steady viscous flow in ducts // J. Comp. Phys. 1974. V. 14. № 1. P. 8–28.
19. Kreskovsky J.P., Shamroth S.J. An implicit marching method for the two-dimensional reduced Navier-Stokes equations at arbitrary Mach number // Comp. Methods in Appl. Mech. and Engng. 1978. V. 13. № 3. P. 307–334.
20. Рогов Б.В., Соколова И.А. Уравнения вязких течений в гладких каналах переменного сечения // Докл. РАН. 1995. Т. 345. № 5. С. 615–618.
21. Рогов Б.В., Соколова И.А. Об асимптотической точности приближения гладкого канала при описании вязких течений // Докл. РАН. 1997. Т. 357. № 2. С. 190–194.
22. Cheng H.K. The blunt-body problem in hypersonic flow at low Reynolds number // Inst. Aerospace Sci. Paper. 1963. № 63–92. 120 p.
23. Бородин А.И., Пейгин С.В. Пространственное обтекание затупленных тел в рамках модели параболизированного вязкого ударного слоя // Мат. моделирование. 1993. Т. 5. № 1. С. 16–25.
24. Vigneron Y.C., Rakich J.V., Tannehill J.C. Calculation of supersonic viscous flow over delta wings with sharp subsonic leading edges // AIAA Paper. 1978. № 78–1137. 19 p.
25. Ковалев В.Л., Крупнов А.А., Тирский Г.А. Решение уравнений вязкого ударного слоя методом простых глобальных итераций по градиенту давления и форме ударной волны // Докл. РАН. 1994. Т. 338. № 3. С. 333–336.
26. Lawrence S.L., Tannehill J.C., Chaussee D.S. Upwind algorithm for the parabolized Navier-Stokes equations // AIAA Journal. 1989. V. 27. № 9. P. 1175–1183.
27. Каратаев С.Г., Котеров В.Н. Численный метод расчета сверхзвуковых течений вязкого газа // Журн. вычисл. математики и мат. физики. 1990. Т. 30. № 4. С. 586–600.
28. Копченков В.И., Ласкин И.Н. Об одной конечно-разностной схеме для численного решения параболизированных уравнений Навье–Стокса // Журн. вычисл. математики и мат. физики. 1996. Т. 36. № 2. С. 126–137.
29. Kaushik S., Rubin S.G. Pressure based flux-split solutions for incompressible and compressible internal flows // Computers and Fluids. 1998. V. 27. № 1. P. 71–94.
30. Ван-Дайк М. Теория сжимаемого пограничного слоя во втором приближении с применением к обтеканию затупленных тел гиперзвуковым потоком // Исследование гиперзвуковых течений. М.: Мир, 1964. С. 35–58.
31. Davis R.T., Werle M.J., Wornom S.F. A consistent formulation of compressible boundary-layer theory with second-order curvature and displacement effects // AIAA Journal. 1970. V. 8. № 9. P. 1701–1703.
32. Калиткин Н.Н., Рогов Б.В., Соколова И.А. Решение прямой задачи сопла итерациями по направлениям линий тока // Докл. РАН. 2000. Т. 370. № 1. С. 46–49.
33. Davis R.T. Numerical solution of the hypersonic viscous shock-layer equations // AIAA Journal. 1970. V. 8. № 5. P. 843–851.
34. Численное исследование современных задач газовой динамики / Под ред. О.М. Белоцерковского М.: Наука, 1974. 397 с.

35. Громов В.Г., Сахаров В.И., Фатеева Е.И. Численное исследование гиперзвукового обтекания затупленных тел вязких химически реагирующим газом // Изв. РАН. МЖГ. 1999. № 5. С. 177–186.
36. Седов Л.И., Михайлова М.П., Чёрный Г.Г. О влиянии вязкости и теплопроводности на течение газа за сильно искривленной ударной волной // Вестн. МГУ. Сер. физ.-мат. и естеств. наук. 1953. № 3. С. 95–100.
37. Rogov V.V., Sokolova I.A. Efficient simplified model for internal viscous flow. // AIAA Paper. 1998. № 98–2493. 9p.
38. Калиткин Н.Н., Рогов Б.В., Соколова И.А. Двухстадийный маршевый расчет вязких течений через сопло Лавалья // Мат. моделирование. 1999. Т. 11. № 7. С. 95–117.
39. Васильевский С.А., Тирский Г.А., Утюжников С.В. Численный метод решения уравнений вязкого ударного слоя // Журн. вычисл. математики и мат. физики. 1987. Т. 27. № 5. С. 741–750.
40. Егоров Ю.Э., Стрелец М.Х., Шур М.Л. Применение метода масштабирования сжимаемости для расчета стационарных течений вязких газов и газовых смесей в соплах Лавалья // Мат. моделирование. 1990. Т. 2. № 10. С. 3–12.
41. Cuffel R.F., Back L.H., Massier P.F. Transonic flowfield in a supersonic nozzle with small throat radius of curvature // AIAA Journal. 1969. V. 7. № 7. P. 1364–1366.
42. Бородин А.И., Иванов В.А., Пейгин С.В. Численное исследование сверхзвукового обтекания затупленных тел в рамках модели вязкого ударного слоя // Журн. вычисл. математики и мат. физики. 1996. Т. 36. № 8. С. 158–168.
43. Любимов А.Н., Русinov В.В. Течение газа около затупленных тел. Т. 2. М.: Наука, 1970. 379 с.
44. Hickman R.S., Giedt W.H. Heat transfer to a hemisphere-cylinder at low Reynolds numbers // AIAA Journal. 1963. V. 1. № 3. P. 665–672.

Москва  
E-mail: rogov@imamod.ru

Поступила в редакцию  
19.XII.2000